УДК 541.124.7

ФИЗИЧЕСКАЯ ХИМИЯ

## 3. С. КАРТАШЕВА, А. Б. ГАГАРИНА, академик Н. М. ЭМАНУЭЛЬ

## КИНЕТИКА РАСПАДА ДИЦИКЛОГЕКСИЛПЕРОКСИДИКАРБОНАТА В БЕНЗОЛЕ

Многие важные для практики химические процессы (например, окисление, полимеризация) протекают по свободнорадикальному, в частности цепному, механизму. Поэтому изучение механизма стимулирования (инициирования) таких процессов составляет одну из главных задач экспериментальной химической кинетики. Перекисные органические соединения являются едва ли не самыми распространенными инициаторами свободнорадикальных процессов. В связи с этим представляется существенным рассмотреть в современном кинетическом аспекте особенности перекисного

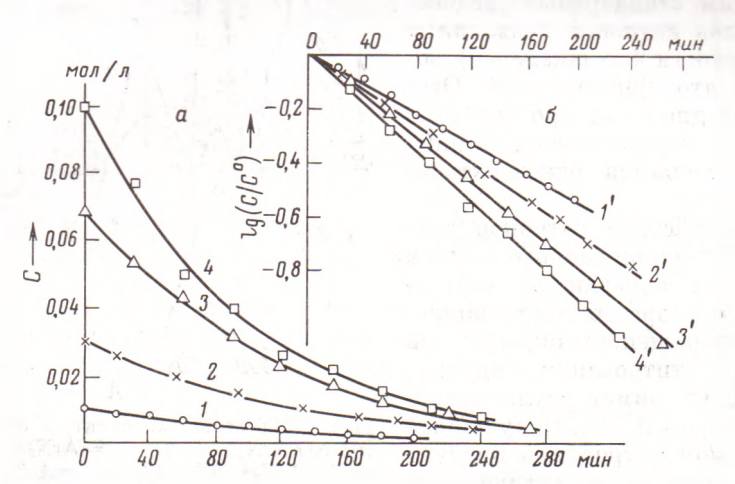


Рис. 1. Кинетические кривые расходования ПК в бензоле (a) и полулогарифмические анаморфозы (b), 55°

инициирования, которые обнаруживаются при детальном изучении механизма их действия.

Перэфиры угольной кислоты — пероксидикарбонаты относятся к числу высокоактивных перекисных соединений, легко распадающихся на радикалы:

Первоначально перкарбонаты исследовались с точки зрения возможности получения при их распаде активных алкоксирадикалов ( $^{1-3}$ ). Однако в ряде случаев, например при полимеризации виниловых мономеров, было установлено, что реакцию инициируют карбоксирадикалы ROC(O)O, а участие RO-радикалов незначительно ( $^4$ ).

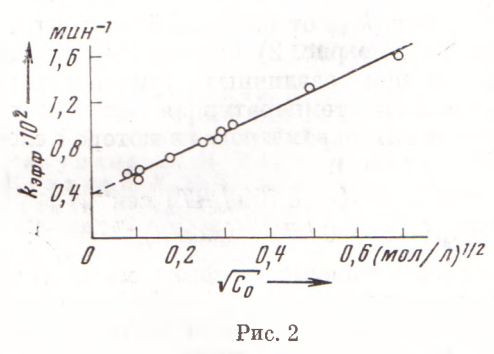
Скорость образования свободных радикалов при распаде инициатора I равна  $w_i = \beta k_{\rm m}[I]$ , где  $\beta$  — число радикалов, выходящих в объем растворителя в расчете на одну распавшуюся молекулу вещества (эффективность инициирования),  $k_{\rm m}$  — константа скорости распада. Следовательно, величины  $k_{\rm m}$  и  $\beta$  являются основными характеристиками инициатора.

Величина  $k_{\rm M}$  для дициклогексилпероксидикарбоната (ПК) ранее была измерена в среде различных углеводородов ( $^4$ ,  $^5$ ,  $^6$ ); что касается величины  $\beta$ , то для нее получены противоречивые данные ( $^5$ ,  $^7$ ). При распаде ПК, наряду с разрывом перекисной связи, в некоторых растворителях был обнаружен также индуцированный распад этого соединения ( $^3$ ,  $^6$ ). Исследованию различных направлений распада ПК и определению кинетических характеристик мономолекулярного и цепного процесса, а также изме-

нениям их с температурой и посвя-

щена настоящая работа.

Термическое разложение ПК в бензоле в отсутствие кислорода изу-



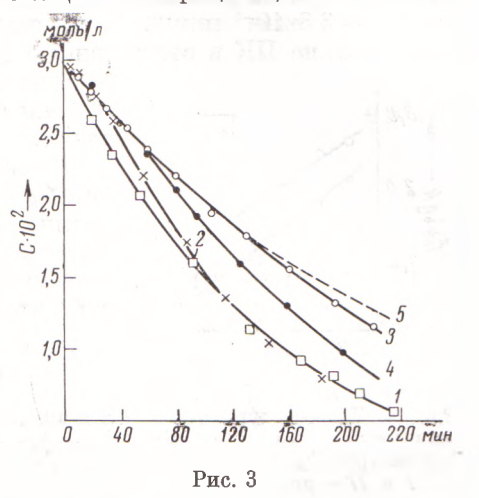


Рис. 2. Зависимость  $k_{\theta \Phi \Phi}$  от начальной концентрации ПК, 55°

Рис. 3. Кинетические кривые расходования ПК  $(3\cdot 10^{-2}\ \text{мол/л})$  в бензоле в отсутствие (1) и при добавках ингибиторов (мол/л) – ионола:  $2-2\cdot 10^{-3}$  и  $3-10^{-2}$ , и ФН:  $4-10^{-2}$ ; 5 — расчетная кривая мономолекулярного распада при  $k_{\rm M}=3.8\cdot 10^{-3}\ \text{мин}^{-1}$ 

чалось при концентрациях  $3 \cdot 10^{-3} - 5 \cdot 10^{-1}$  мол/л и температурах  $35 - 60^\circ$ . Опыты проводились в запаянных ампулах. Для удаления кислорода была использована общепринятая методика многократного замораживания и вакуумирования. Концентрация ПК определялась иодометрическим методом. ПК очищался четырехкратной перекристаллизацией из ацетона в смесь метанол — вода (5:1). Бензол х.ч. перегонялся над металлическим натрием. Использовавшиеся в работе ингибиторы 2,6-дитретбутил-4-метилфенол (ионол) и 2-фенилиндандион-1,3 ( $^{\circ}$ ) очищались соответственно возгонкой в вакууме и перекристаллизацией из бензола.

На рис. 1 a приведены кинетические кривые распада ПК при различных начальных концентрациях и их полулогарифмические анаморфозы (рис. 1 b). Характерная для реакций первого порядка линейная зависимость в координатах  $\log C/C_0$ , t наблюдается вплоть до глубоких стадий превращения. Однако, в отличие от истинных мономолекулярных реакций, константа скорости растет с увеличением начальной концентрации. На рис. 2 приведена зависимость константы скорости  $k_{b}$  от начальной концентрации пероксидикарбоната  $C_0$ , из которой следует, что  $k_{b}$  может быть представлена следующим выражением:

$$k_{a\phi\phi} = k_{\rm M} + a \overline{VC_0},\tag{1}$$

где  $k_{\rm M}$  — константа скорости мономолекулярного распада, a — кинетический параметр, характеризующий скорость цепного процесса.

Эффект увеличения константы скорости с ростом начальной концентрации при распаде различных перекисных соединений наблюдался также в работах (9-11), являясь следствием индуцированного цепного распада, происходящего при участии свободных радикалов.

Доказательством существования цепных стадий при термическом разложении ПК в бензоле является уменьшение суммарной скорости при добавках ингибиторов — ионола и 2-фенилиндандиона-1,3 (ФН). На рис. 3 представлены кинетические кривые уменьшения концентрации ПК в отсутствие ингибиторов (1) и при добавках ионов (2 и 3) и ФН (4). Видно, что начальная скорость реакции при всех концентрациях ингибиторов одинакова. В течение некоторого промежутка времени от начала процесса разложение ПК происходит в соответствии с кинетической кривой 5. Эта кинетическая кривая рассчитана по уравнению  $C = C_0 \exp(-k_{\rm M}/t)$  при значении  $k_{\rm M} = 3,8\cdot 10^{-3}$  мин<sup>-1</sup>, полученном из данных рис. 2, и отражает расходование ПК в отсутствие индуцированного распада. Таким образом,

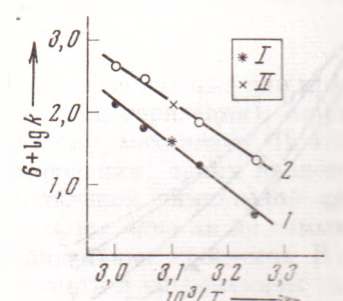


Рис. 4. Температурная зависимость кинетических нараметров  $k_{\rm M}$  (1) и a (2); I и II — данные (4)

разложение ПК включает в своем механизме наличие отчетливо выраженного цепного направления.

По изменению  $k_{\text{офф}}$  от начальной концентрации  $C_0$  (аналогично рис. 2) были получены величины  $k_{\text{м}}$  и a при различных температурах. На рис. 4 приведена температурная зависимость этих кинетических параметров, из которой следует, что  $k_{\text{м}}$  и a равны:

Значение предэкспоненциального множителя для мономолекулярного распада  $\Pi K$ , равное  $k_0 = 10^{14,94}$ , по порядку величины соответствует величинам  $k_0$  для термического разложения

различных перекисей и азосоединений в жидкой фазе ( $^{12}$ ). Полученное значение энергии активации мономолекулярного процесса  $E_{\rm M}=28,7$  ккал/моль близко к значению  $E_{\rm M}$  для распада ПК в окисляющемся этилбензоле ( $^{5}$ ).

Своеобразная зависимость величины  $k_{\text{офф}}$  от концентрации распадающегося инициатора может быть получена, если рассмотреть следующий механизм разложения, включающий гомолиз перекисной связи (реакция 0) и реакции свободных радикалов, образующихся в этом процессе.

0) 
$$\Pi \stackrel{k_M}{\to} 2r$$
.  
1)  $\Pi \stackrel{k_1}{\to} r + +$   
2)  $R \stackrel{k_1'}{\to} r +$   
3)  $r + r \stackrel{k_2}{\to}$ 

Уравнение для скорости расходования ПК, полученное в предположении о квазистационарности по концентрации радикалов  $\mathbf{r}^{\bullet}$  и при  $[\mathbf{r}^{\bullet}] \gg [\mathbf{R}^{\bullet}]$ , имеет следующий вид;

$$-\frac{dC}{dt} = k_{\rm M}C + k_1 \sqrt{\beta k_{\rm M}/k_2} \cdot C^{*/2} = k_{\partial \phi \phi}C, \tag{2}$$

где  $k_{2\Phi\Phi} = k_{\rm M} + k_{\rm H} \sqrt{C}$ ,  $k_{\rm H} = k_{\rm I} \sqrt{\beta k_{\rm M}/k_{\rm B}}$ ,  $k_{\rm H}$  — кинетический параметр, определяющий скорость цепного направления распада.

Однако эта схема позволяет описать кинетику процесса только в начальной стадии (вплоть до <sup>1</sup>/<sub>3</sub> глубины превращения). Необходимо уточнить этот механизм, с тем чтобы описать основную отличительную особенность, заключающуюся в соблюдении первого порядка по концентрации ПК вплоть до глубоких степеней превращения. Возможно, на глубоких стадиях реакцию ускоряют образующиеся продукты. Действительно, добавки продуктов — циклогексанона и циклогексанола — в количествах, соизмеримых с образующимися к концу реакции, приводят к ускорению процесса разложения ПК. Аналогичное действие циклогексанона на распад гидропереки-

си трет-бутила наблюдалось ранее (13). Следовательно, схема распада ПК должна быть дополнена элементарными стадиями, отражающими участие

продуктов реакции.

Таким образом, термическое разложение дициклогексилпероксидикарбоната в среде ароматического растворителя, не содержащего реакционноспособных С—Н-связей, представляет собой процесс, включающий мономо лекулярный гомолиз перекисной связи и цепное взаимодействие перекиси с образующимися свободными радикалами, осложненное влиянием конечных продуктов.

Институт химической физики Академии наук СССР Москва Поступило 6 IV 1973

## **ШИТИРОВАННАЯ ЛИТЕРАТУРА**

<sup>1</sup> Г. А. Разуваев, Л. М. Терман, ЖОХ, № 30, 2387 (1960). <sup>2</sup> Г. А. Разуваев, Л. М. Терман, В. А. Додонов, Журн. Всесоюзн. хим. общ., 11, 202 (1966). <sup>3</sup> Г. А. Разуваев, Л. М. Терман, Г. Петухов. ДАН, 136, 628 (1961). <sup>4</sup> Г. А. Разуваев, Л. М. Терман, Д. М. Яновский, ДАН, 161, 614 (1965). <sup>5</sup> З. И. Кулицки, Л. М. Терман идр., Изв. АН СССР, сер. хим., 1963, 253. <sup>6</sup> D. E. Van Sickle, J. Org. Chem., 34, 3446 (1969). <sup>7</sup> Е. Т. Денисов, Изв. АН СССР, сер. хим., 1963, 2037. <sup>8</sup> В. В. Моисеев, Л. П. Залукаев, Журн. орг. хим., 3, 734 (1967). <sup>9</sup> Е. R. Bell, J. H. Raley et al., Disc. Farad. Soc., № 10, 242 (1951). <sup>10</sup> К. Nozaki, P. D. Bartlett, J. Am. Chem. Soc., 68, 1686 (1946). <sup>11</sup> S. G. Cohen, J. Am. Chem. Soc., 67, 17 (1945). <sup>12</sup> Е. Т. Денисов, Константы скорости гомолитических жидкофазных реакций, «Наука», 1971. <sup>13</sup> Е. Т. Денисов, ДАН, 146, 394 (1962).